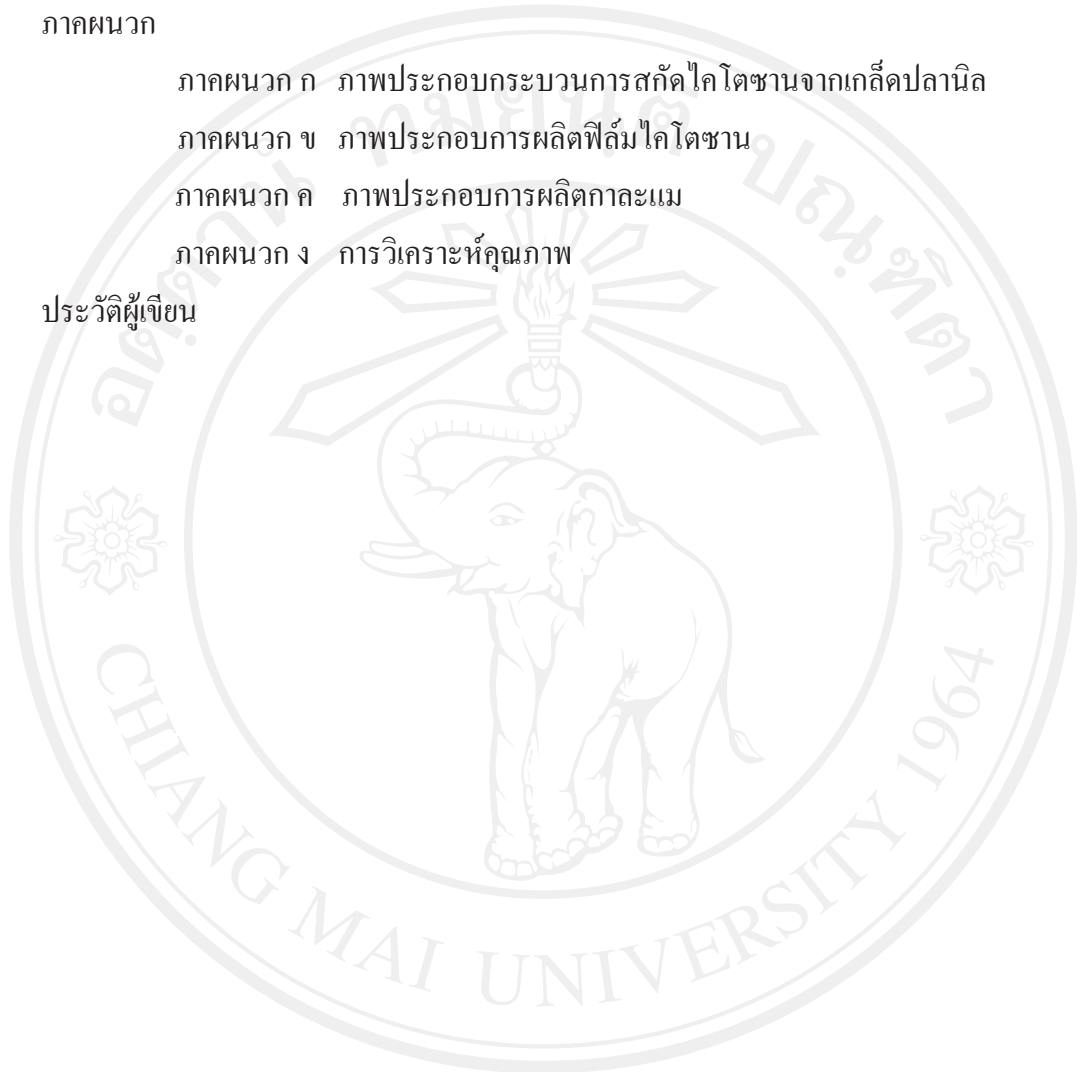


สารบัญ

| | หน้า |
|--|-----------|
| กิตติกรรมประกาศ | ก |
| บทคัดย่อภาษาไทย | ง |
| บทคัดย่อภาษาอังกฤษ | ฉ |
| สารบัญตาราง | ญ |
| สารบัญภาพ | ฎ |
| บทที่ 1 บทนำ | 1 |
| 1.1 ที่มาและความสำคัญของปัญหาที่นำไปสู่การค้นคว้าวิจัย | 1 |
| 1.2 วัตถุประสงค์ของงานวิจัย | 2 |
| 1.3 ประโยชน์ที่คาดว่าจะได้รับ | 2 |
| 1.4 ขอบเขตการวิจัย | 3 |
| บทที่ 2 เอกสารและงานวิจัยที่เกี่ยวข้อง | 4 |
| บทที่ 3 อุปกรณ์และวิธีการทดลอง | 36 |
| 3.1 วัสดุดิบและอุปกรณ์ | 36 |
| 3.2 วิธีการทดลอง | 41 |
| 3.3 แผนการทดลอง | 43 |
| บทที่ 4 ผลการทดลองและอภิปรายผล | 51 |
| บทที่ 5 สรุปผลการทดลองและข้อเสนอแนะ | 80 |
| 5.1 สรุปผลการทดลอง | 80 |
| 5.2 ข้อเสนอแนะ | 82 |

| | |
|---|-----|
| เอกสารอ้างอิง | 84 |
| ภาคผนวก | 92 |
| ภาคผนวก ก ภาพประกอบกระบวนการสกัดโคโคซานจากเกล็ดปลานิล | 93 |
| ภาคผนวก ข ภาพประกอบการผลิตฟิล์มโคโคซาน | 96 |
| ภาคผนวก ค ภาพประกอบการผลิตกอละแม | 98 |
| ภาคผนวก ง การวิเคราะห์คุณภาพ | 100 |
| ประวัติผู้เขียน | 106 |



ลิขสิทธิ์มหาวิทยาลัยเชียงใหม่
 Copyright© by Chiang Mai University
 All rights reserved

สารบัญตาราง

| ตาราง | หน้า |
|--|------|
| 2.1 ชนิดและคุณลักษณะของไคติน | 5 |
| 2.2 ปริมาณไคตินและไคโตซานในแหล่งวัตถุดิบต่าง ๆ | 8 |
| 2.3 สรุปขั้นตอนการสกัดไคตินและไคโตซานที่มีผลต่อค่าร้อยละการกำจัด หมู่อะซีทิล | 12 |
| 2.4 คุณสมบัติพื้นฐานของไคตินและไคโตซาน | 15 |
| 2.5 วิเคราะห์คุณสมบัติทางกายภาพของไคตินและไคซาน | 16 |
| 2.6 ปริมาณและมูลค่าการส่งออกและนำเข้า | 20 |
| 2.7 คุณสมบัติของเจลาติน | 27 |
| 3.1 ระดับปัจจัยของการศึกษาผลความเข้มข้นของโซเดียมไฮดรอกไซด์และ อุณหภูมิในขั้นตอนการกำจัดโปรตีน | 44 |
| 3.2 แผนการทดลองแบบ Central Composite Design ในการศึกษาผลของความ เข้มข้นโซเดียมไฮดรอกไซด์ และอุณหภูมิในขั้นตอนการกำจัดโปรตีน | 44 |
| 3.3 ระดับปัจจัยของการศึกษาผลของความเข้มข้นของกรดไฮโดรคลอริกเข้มข้น 2 นอ้มัดและเวลาในขั้นตอนกำจัดแร่ธาตุ | 46 |
| 3.4 แผนการทดลองแบบ Central Composite Design ในการศึกษาผลของความ เข้มข้นของกรดไฮโดรคลอริกเข้มข้น 2 นอ้มัด และเวลาในขั้นตอนกำจัดแร่ธาตุ | 46 |
| 3.5 ระดับปัจจัยของการศึกษาผลความเข้มข้นของโซเดียมไฮดรอกไซด์ และ อุณหภูมิในขั้นตอนการผลิตไคโตซาน | 47 |
| 3.6 แผนการทดลองแบบ Central Composite Design ในการศึกษาผลของความ เข้มข้นในขั้น โซเดียมไฮดรอกไซด์ และอุณหภูมิในขั้นตอนการผลิตไคโตซาน | 48 |
| 3.7 แผนการทดลองแบบ Mixture design ในการศึกษาผลของสารละลายไคโตซาน ร้อยละ 1 (น้ำหนักต่อปริมาตร) ในกรดแลคติกร้อยละ 1 ความเข้มข้นของ กลีเซอริน และความเข้มข้นของน้ำมันตะไคร้ในขั้นตอนการผลิตฟิล์ม ไคโตซาน | 49 |

| | | |
|------|--|----|
| 4.1 | ผลการศึกษากำจัดโปรตีนออกจากตัวอย่างเกล็ดปลานิลโดยการผันแปรปัจจัยโซเดียมไฮดรอกไซด์ และอุณหภูมิ | 52 |
| 4.2 | สมการถดถอยสมการถดถอยแสดงความสัมพันธ์ระหว่างโซเดียมไฮดรอกไซด์และอุณหภูมิต่อค่าการกำจัดโปรตีนออกจากตัวอย่างเกล็ดปลานิล | 53 |
| 4.3 | ผลการศึกษากำจัดแร่ธาตุออกจากตัวอย่างเกล็ดปลานิลโดยการผันแปรปัจจัยกรดไฮโดรคลอริกเข้มข้น 2 นอ้มล และเวลา | 55 |
| 4.4 | สมการถดถอยแสดงความสัมพันธ์ระหว่างกรดไฮโดรคลอริกเข้มข้น 2 นอ้มล และเวลาต่อค่าการกำจัดแร่ธาตุออกจากตัวอย่างเกล็ดปลานิล | 56 |
| 4.5 | ปริมาณของไคโตซานที่ผลิตจากไคตินจากเกล็ดปลานิลที่ผลิตจากการผันแปรปัจจัยโซเดียมไฮดรอกไซด์ และอุณหภูมิ | 58 |
| 4.6 | สมการถดถอยแสดงความสัมพันธ์ระหว่างโซเดียมไฮดรอกไซด์ และอุณหภูมิต่อค่าคุณภาพของไคโตซานในกระบวนการผลิตไคโตซานจากไคตินที่สกัดมาจากเกล็ดปลานิล | 59 |
| 4.7 | ค่าร้อยละการกำจัดโปรตีน ค่าร้อยละการกำจัดแร่ธาตุ ระดับของการกำจัดหมู่อะซีทิล และปริมาณไคโตซาน ที่ได้จากการทำนายและจากการผลิตจริงและร้อยละความคลาดเคลื่อน | 61 |
| 4.8 | ค่าคุณภาพของฟิล์มไคโตซานเมื่อผันแปรปัจจัยสารละลายไคโตซานร้อยละ 1 (น้ำหนักต่อปริมาตร) ในกรดแลคติกร้อยละ 1 ความเข้มข้นของกลีเซอริน และความเข้มข้นของน้ำมันตะไคร้ในขั้นตอนการผลิตฟิล์มไคโตซาน | 64 |
| 4.9 | ความสัมพันธ์ของสมการถดถอยกับค่าคุณภาพของฟิล์มไคโตซาน | 66 |
| 4.10 | ผลการเปรียบเทียบค่าคุณสมบัติของแผ่นฟิล์มไคโตซานที่ได้จากการทำนายและจากการผลิตจริงและร้อยละความคลาดเคลื่อน | 68 |
| 4.11 | ผลของการศึกษาผลของฟิล์มไคโตซานที่มีต่อการยับยั้งการเจริญเติบโตของเชื้อยีสต์และราในผลิตภัณฑ์กาดะแม | 75 |
| 4.12 | ต้นทุนจากการสกัดไคโตซานที่อยู่ในเกณฑ์มาตรฐานที่ใช้ในกลุ่มผลิตอาหารจากเกล็ดปลานิลต่อเกล็ดปลานิล 100 กรัม | 78 |

สารบัญภาพ

| ภาพ | หน้า |
|--|------|
| 2.1 โครงสร้างของไคติน | 5 |
| 2.2 โครงสร้างของไคโตซาน | 9 |
| 2.3 ลักษณะเกล็ดปลานิล | 23 |
| 2.4 โครงสร้างของกลีเซอริน | 27 |
| 2.5 เครื่องมือใช้วัดอัตราการซึมผ่านของออกซิเจน | 33 |
| 3.1 แผนผังการสกัดไคตินจากเกล็ดปลานิลเพื่อใช้ในการขึ้นรูปเป็นฟิล์มที่บริโภคได้ และการประยุกต์ใช้กับผลิตภัณฑ์กอลาแม | 41 |
| 3.2 แผนผังการสกัดไคโตซานจากเกล็ดปลานิลเพื่อใช้ในการขึ้นรูปเป็นฟิล์มที่บริโภคได้ และการประยุกต์ใช้กับผลิตภัณฑ์กอลาแม | 42 |
| 4.1 กระบวนการผลิตที่ดีที่สุด (Optimization) สำหรับการศึกษผลของโซเดียมไฮดรอกไซด์ และอุณหภูมิ ในการกำจัดโปรตีน | 53 |
| 4.2 กระบวนการผลิตที่ดีที่สุด (Optimization) สำหรับการศึกษผลของกรดไฮโดรคลอริกเข้มข้น 2 นอ้มล และเวลาในการกำจัดแร่ธาตุ | 56 |
| 4.3 กระบวนการผลิตที่ดีที่สุด (Optimization) สำหรับการศึกษผลของการผันแปรโซเดียมไฮดรอกไซด์ และอุณหภูมิ ในการสกัดไคโตซานจากไคตินในเกล็ดปลานิล | 60 |
| 4.4 กราฟแสดงค่าการ Transmittance ของไคโตซานมาตรฐานจากบริษัท ต้าหมิง เอ็นเตอร์ไพร์ส จำกัด | 62 |
| 4.5 กราฟแสดงค่าการ Transmittance ของไคโตซานที่ผลิตได้จากเกล็ดปลานิล | 62 |
| 4.6 กราฟการซ้อนทับของส่วนผสมในการผลิตผลิตภัณฑ์แผ่นฟิล์มไคโตซานจากการศึกษาทั้ง 12 สิ่งทดลอง ที่ได้จากการวางแผนแบบ Mixture design | 67 |
| 4.7 ผลของฟิล์มไคโตซานทั้ง 12 สูตรต่อค่าการยับยั้งเชื้อ <i>Penicillium</i> จากการผันแปรปริมาณความเข้มข้นของสารละลายไคโตซานร้อยละ 1 (น้ำหนักต่อปริมาตร) ในกรดแลคติกร้อยละ 1 ความเข้มข้นของกลีเซอริน และความเข้มข้นของน้ำมันตะไคร้ วันที่ 1 | 70 |

| | | |
|------|---|----|
| 4.8 | ผลของฟิล์มไคโตซานทั้ง 12 สูตรต่อค่าการยับยั้งเชื้อ <i>Penicillium</i> จากการผันแปรปริมาณความเข้มข้นของสารละลายไคโตซานร้อยละ 1 (น้ำหนักต่อปริมาตร) ในกรดแลคติก ร้อยละ 1 ความเข้มข้นของกลีเซอริน และความเข้มข้นของน้ำมันตะไคร้ วันที่ 2 | 71 |
| 4.9 | ผลของฟิล์มไคโตซานทั้ง 12 สูตรต่อค่าการยับยั้งเชื้อ <i>Penicillium</i> จากการผันแปรปริมาณความเข้มข้นของสารละลายไคโตซานร้อยละ 1 (น้ำหนักต่อปริมาตร) ในกรดแลคติก ร้อยละ 1 ความเข้มข้นของกลีเซอริน และความเข้มข้นของน้ำมันตะไคร้ วันที่ 3 | 72 |
| 4.10 | ผลของฟิล์มไคโตซานทั้ง 12 สูตรต่อค่าการยับยั้งเชื้อ <i>Penicillium</i> จากการผันแปรปริมาณความเข้มข้นของสารละลายไคโตซานร้อยละ 1 (น้ำหนักต่อปริมาตร) ในกรดแลคติก ร้อยละ 1 ความเข้มข้นของกลีเซอริน และความเข้มข้นของน้ำมันตะไคร้ วันที่ 4 | 73 |
| 4.11 | ผลของฟิล์มไคโตซานทั้ง 12 สูตรต่อค่าการยับยั้งเชื้อ <i>Penicillium</i> จากการผันแปรปริมาณความเข้มข้นของสารละลายไคโตซานร้อยละ 1 (น้ำหนักต่อปริมาตร) ในกรดแลคติก ร้อยละ 1 ความเข้มข้นของกลีเซอริน และความเข้มข้นของน้ำมันตะไคร้ วันที่ 5 | 74 |
| 4.12 | เชื้อยีสต์และราในกาละแม่วันที่ 0 | 76 |
| 4.13 | เชื้อยีสต์และราในกาละแม่วันที่ไม่ได้ห่อฟิล์มไคโตซานวันที่ 3 | 76 |
| 4.14 | เชื้อยีสต์และราในกาละแม่วันที่ห่อด้วยฟิล์มไคโตซานวันที่ 3 | 76 |
| 4.15 | เชื้อยีสต์และราในกาละแม่วันที่ไม่ได้ห่อฟิล์มไคโตซานวันที่ 6 | 77 |
| 4.16 | เชื้อยีสต์และราในกาละแม่วันที่ห่อด้วยฟิล์มไคโตซานวันที่ 6 | 77 |
| 4.17 | เชื้อยีสต์และราในกาละแม่วันที่ไม่ได้ห่อฟิล์มไคโตซานวันที่ 9 | 77 |
| 4.18 | เชื้อยีสต์และราในกาละแม่วันที่ห่อด้วยฟิล์มไคโตซานวันที่ 9 | 77 |
| 4.19 | เชื้อยีสต์และราในกาละแม่วันที่ไม่ได้ห่อฟิล์มไคโตซานวันที่ 12 | 77 |
| 4.20 | เชื้อยีสต์และราในกาละแม่วันที่ห่อด้วยฟิล์มไคโตซานวันที่ 12 | 77 |
| 4.21 | เชื้อยีสต์และราในกาละแม่วันที่ห่อด้วยฟิล์มไคโตซานวันที่ 15 | 78 |
| 5.1 | กระบวนการผลิตไคติน-ไคโตซาน ที่เหมาะสม | 81 |
| ก-1 | ขั้นตอนกระบวนการสกัดไคตินจากเกล็ดปลานิล | 94 |

| | | |
|-----|---|-----|
| ก-2 | ขั้นตอนกระบวนการสกัดไคโตซานตามเกณฑ์มาตรฐานที่ใช้ในการผลิตอาหารจากเกล็ดปลา | 95 |
| ข-1 | ภาพประกอบการผลิตฟิล์มไคโตซาน | 97 |
| ค-1 | ขั้นตอนกระบวนการผลิตกอลาแม | 99 |
| ง-1 | กราฟมาตรฐานของสารละลายมาตรฐานของดีกลูโคซามีนไฮโดรคลอไรด์ (D-glucosamine hydrochloride : GlcN) | 102 |
| ง-2 | กราฟมาตรฐานของสารละลายมาตรฐานของอะซิติลกลูโคซามีน (Acetyl-glucosamine : GlcNAC) | 102 |